

В. Э. Ткачева, С. С. Виноградова, А. Н. Макарова

## ЦИКЛИЧЕСКИЙ ПОТЕНЦИОСТАТИЧЕСКИЙ МЕТОД МОНИТОРИНГА ПАССИВНОГО СОСТОЯНИЯ ХРОМОНИКЕЛЕВЫХ СТАЛЕЙ

*Ключевые слова:* пассивное состояние, мониторинг, циклический потенциостатический метод.

*Обоснован новый подход к опережающему мониторингу пассивного состояния металлов. Разработан критерий оценки потенциальной коррозионной опасности. Показаны преимущества циклического потенциостатического метода мониторинга.*

*Keywords:* passive state, monitoring, cyclic potentiostatic method.

*Justified a new approach to preemptive monitoring passive state of metals. Develop criteria for assessing the potential risk of corrosion. Shows the advantages of cyclic potentiostatic method of monitoring.*

### Введение

Анализ литературных данных об электрохимических методах мониторинга питтинговой коррозии показал, что на данный момент наиболее перспективным является импульсный гальваниодинамический метод [1]. Метод позволяет получать опережающий сигнал о возможном возникновении питтинговой коррозии за счет того, что металл датчика при анодной поляризации находится в более жестких условиях, чем металл оборудования. Для этого предусматривается пропускание треугольного переменного тока инфразондкой частоты с регулируемой амплитудой через датчик, состоящий из двух электродов (изготовленных из того же металла что и оборудование) и выявление специфических "питтинговых" колебаний (флуктуаций) электродного потенциала. Перед началом мониторинга экспериментально определяются потенциал свободной коррозии и потенциал питтингообразования, а затем вычисляется разность между ними, рассматриваемая как запас питтингостойкости по потенциальному. Далее в пределах запаса питтингостойкости выбирается смещение потенциала, ужесточающее условия эксплуатации металла датчика. Это смещение потенциала (минимальный запас питтингостойкости) обеспечивается треугольным переменным током с экспериментально подобранными значениями амплитуды и частоты.

Предложен вариант приближенного определения амплитудной плотности тока для гальваниодинамического метода мониторинга [2], основанный на равенстве количества электричества, требуемых для смещения потенциала на заданную величину за время гальваниостатической поляризации, и анодного полупериода.

Основным недостатком гальваниодинамического метода является то обстоятельство, что в области потенциалов, соответствующих минимальному запасу питтингостойкости (смещение потенциала от потенциала свободной коррозии на заданную величину), электроды датчика находятся непродолжительное время, определяемое частотой используемого переменного тока. В частности, при

частоте 0,02 Гц продолжительность пребывания в этой области составляет несколько секунд. В то же время известно, что индукционный период питтинговой коррозии может быть значительно продолжительнее [3]. Кроме того, высокая чувствительность значений потенциала к плотности тока в области пассивности металла делает заданное при мониторинге значение потенциала, изменяющимся в широких пределах от цикла поляризации к циклу.

Целесообразно разделить задачи опережающего мониторинга: ужесточение условий эксплуатации датчика и получение сигнала о начале питтинговой коррозии, которые в гальваниодинамическом методе решаются одновременно. Предлагается создавать более жесткие условия для металла датчика (при которых он выдерживается определенное время), и отдельно определять состояние поверхности металла после этого воздействия. Для большей определенности условий, при которых находится металл датчика, целесообразно использовать циклический потенциостатический режим поляризации.

В предлагаемом методе мониторинга рабочий и вспомогательный электроды датчика изготавливают из того же материала, что и материал оборудования [4]. Перед началом мониторинга определяют потенциал рабочего электрода  $E_{cor}$ , потенциал питтингообразования  $E_b$  и вычисляют разность между ними  $\Delta E_b$  (запас питтингостойкости по потенциальному). В пределах запаса питтингостойкости по потенциальному ( $\Delta E_b$ ) определяют пороговое значение потенциала рабочего электрода  $E_{minb}$  (критерий потенциальной коррозионной опасности) при условии  $30mV \leq E_{minb} < E_b$ . Величина порогового значения зависит от степени опасности последствий перфорации стенок оборудования в результате питтинговой коррозии. Разность  $E_{minb}$  и  $E_{cor}$  является принятым минимальным запасом питтингостойкости по потенциальному.

В процессе мониторинга систему, состоящую из рабочего, вспомогательного электродов и электрода сравнения, размещают в коррозионной среде. Далее рабочий электрод выдерживают при пороговом значении потенциала -

$E_{min}$  в течение промежутка времени  $\tau$ , превышающего по продолжительности инкубационный период питтинговой коррозии (продолжительность которого обычно меньше одного часа). После чего потенциал рабочего электрода разворачивают от порогового значения потенциала ( $E_{min}$ ) до потенциала разомкнутой цепи ( $E_{cor}$ ) и в обратном направлении с заданной постоянной скоростью развертки потенциала  $V$ , при этом регистрируют значения силы тока и потенциала. При определенном значении потенциала сравнивают величину силы тока прямого и обратного направления, и при превышении величины силы тока прямого направления над величиной силы тока обратного направления судят о начале питтинговой коррозии. Такой подход позволяет повысить достоверность мониторинга пассивного состояния сталей за счет учета инкубационного периода питтинговой коррозии и повысить его точность путем задания четко определенного значения потенциала  $E_{min}$ .

### Экспериментальная часть

В качестве объекта исследования была выбрана коррозионно-стойкая сталь 12Х18Н10Т. Исследования проводили в стандартной электрохимической ячейке ЯСЭ-2 в хлоридных растворах и хлоридных растворах с окислителем ( $K_3Fe(CN)_6$ ). В качестве электрода сравнения использовали хлоридсеребряный электрод марки ЭВЛ-ИМЗ, вспомогательным электродом служил платиновый электрод.

Поляризацию электрода и соответствующие измерения (вольтамперные зависимости) осуществляли с помощью потенциостато-гальваностата марки «IPC-Pro» и персонального компьютера.

Анализ вольтамперограмм после потенциостатической выдержки сталей в хлоридных растворах и растворах с окислителем позволил выявить четыре характерных типа (рис. 1 – 4).

Вольтамперограммы первого типа (рис.1) наблюдаются после потенциостатической выдержки сталей при потенциалах пассивной области. Флуктуации тока в этом случае характеризуют электрохимические шумы в рассматриваемой коррозионной системе [5].

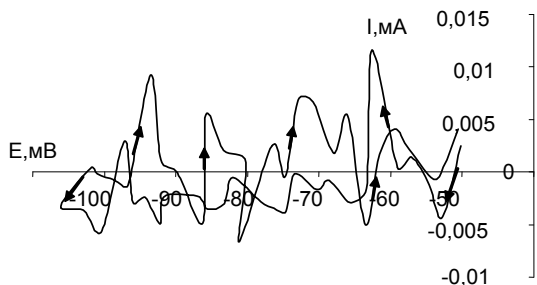


Рис. 1 - Вольтамперограмма стали 12Х18Н10Т в растворе: 12 г/л NaCl после потенциостатической выдержки (-50 мВ) и скорости развертки потенциала 2 мВ/с.

Вольтамперограммы второго типа (рис. 2) наблюдаются после потенциостатической выдержки сталей при потенциалах пассивной области, значительно отличающихся от потенциала свободной коррозии. Электрохимические шумы в этом случае прослеживаются на фоне изменения анодного (катодного) токов.

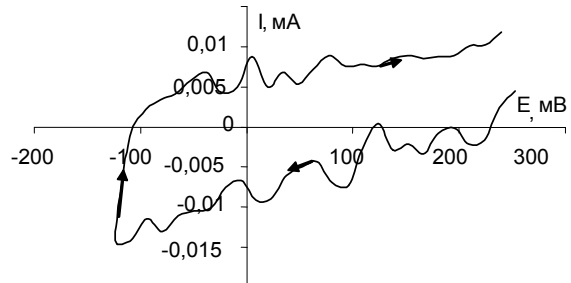


Рис. 2 - Вольтамперограмма стали 12Х18Н10Т в растворе: 3 г/л NaCl + 0,001 г/л K<sub>3</sub>Fe(CN)<sub>6</sub> после потенциостатической выдержки при потенциале 250 мВ и скорости развертки потенциала 15 мВ/с.

Вольтамперограммы третьего типа (рис. 3) наблюдаются после потенциостатической выдержки сталей при потенциалах, соответствующих активно-пассивной области.

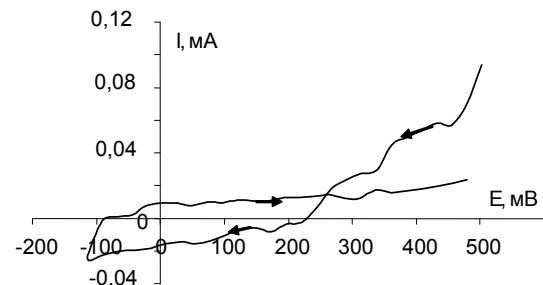


Рис. 3 - Вольтамперограмма стали 12Х18Н10Т в растворе: 3 г/л NaCl + 0,001 г/л K<sub>3</sub>Fe(CN)<sub>6</sub> после потенциостатической выдержки 500 мВ и скорости развертки потенциала 24 мВ/с.

Флуктуации тока в этом случае характеризуют процессы зарождения-репассификации питтингов [6].

В отличие от вольтамперограмм, представленных на рис. 1 и 2, на вольтамперограмме третьего типа изменяется направление обхода контура. Участок вольтамперограммы, соответствующий смещению потенциала в область потенциала коррозии при потенциалах, близких к потенциалу потенциостатирования, расположен выше участка вольтамперограммы, соответствующего смещению потенциала от потенциала свободной коррозии к потенциалу потенциостатирования. Появление петли на вольтамперограмме отражает тот факт, что, появившиеся питтинги начиная с некоторого значения потенциала пассивируются, и эта часть вольтамперограмм по своему характеру совпадает с вольтамперограммой, представленной на рис. 2.

Вольтамперограммы четвертого типа (рис. 4) наблюдаются после потенциостатической

выдержки сталей при соответствующих областях питтингообразования.

потенциалах, устойчивого

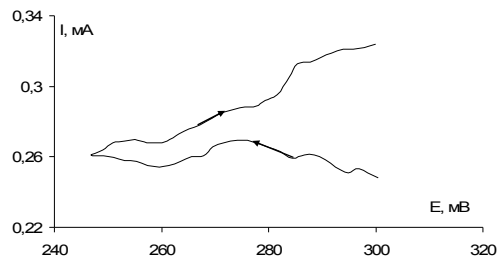


Рис. 4 - Вольтамперограмма стали 12Х18Н10Т в растворе: 30 г/л NaCl+ 0,03 г/л K<sub>3</sub>Fe(CN)<sub>6</sub> после потенциостатической выдержки 300 мВ и скорости развертки потенциала 2 мВ/с.

В этом случае вольтамперограммы (рис. 4) принципиально отличаются от рассмотренных выше (рис. 1 – 3). Участок вольтамперограммы, соответствующий смещению потенциала в область потенциала коррозии расположена ниже участка вольтамперограммы, соответствующего смещению потенциала от потенциала коррозии к потенциалу потенциостатирования. Такое расположение вольтамперограмм объясняется тем, что питтинги в данном случае не успевают запасивироваться, их поверхность растет, а, следовательно, увеличивается и плотность поляризующего тока. Тот факт, что при смещении потенциала в область потенциала коррозии плотность тока не уменьшается, объясняется тем, что на его величину оказывают влияние два фактора: значение потенциала и площадь активной поверхности питтинга. Уменьшение плотности тока с изменением потенциала компенсируется увеличением площади активной поверхности питтинга. При смещении потенциала от потенциала коррозии к потенциалу потенциостатирования поляризующий ток растет, поскольку оба этих фактора действуют в одном направлении.

Совокупность приведенных данных позволяет утверждать, что тип вольтамперограммы позволяет определить состояние поверхности

металла в процессе потенциостатирования. Переход от вида вольтамперограммы, представленной на рис. 2, к виду вольтамперограммы, представленному на рис. 3, свидетельствует о возникновении питтинговой коррозии. Разность токов, соответствующих прямому и обратному направлениям смещения потенциала (при одном из выбранных значений) можно использовать в качестве сигнала о том, что запас питтингостойкости стал меньше заданного значения.

Разработанный метод, сохраняя преимущества гальванодинамического метода мониторинга пассивного состояния хромоникелевых сталей, лишен присущих ему недостатков.

## Выводы

1. Обоснован новый подход к опережающему мониторингу пассивного состояния металлов, заключающийся в разделении во времени процессов воздействия электрического тока на металл, ужесточающего условия его эксплуатации, и последующей оценки коррозионного состояния поверхности металла.
2. Разработан циклический потенциостатический метод мониторинга пассивного состояния металла, обеспечивающий повышение достоверности результатов.

## Литература

1. В. И. Ломовцев А. П. Городничий, А. Б. Быков *Защита металлов*, 29, 1, 36-43 (1993)
2. В.Э. Ткачева Автореф. дис. канд. техн. наук Казанский гос. технол. ун-т, Казань, 2009. 17с.
3. Г. Кеше *Коррозия металлов*: Пер. с нем. Металлургия, Москва, 1984, С. 253-282.
4. В.Э. Ткачева, С.С Виноградова, Р.А. Кайдриков, Б.Л.Журавлев, *Вестник Казанского технологического университета*, 3, 81-84 (2008)
5. К. Р. Таранцева // Пензенский технологический институт (завод-ВТУЗ). филиал Пензенского государственного технического университета. -1996. -20 с. - Деп. ВИНИТИ № 988 – В96.
6. С.С Виноградова, В.Э. Ткачева, Б.Л.Журавлев, Р.А. Кайдриков, *Вестник Казанского технологического университета*, 3, 78 – 80 (2008)

© В. Э. Ткачева - канд. техн. наук, доц. каф. технологии электрохимических производств КНИТУ, tka-valeriya@mail.ru; С. С. Виноградова – канд. техн. наук, декан ФХТ КНИТУ, доц. каф. технологии электрохимических производств КНИТУ, vsvet@kstu.ru; А. Н. Макарова – асп. каф. технологии электрохимических производств КНИТУ, man-anna87@mail.ru.